

УДК 537.94

© 1992

**ВЛИЯНИЕ ГИДРОСТАТИЧЕСКОГО ДАВЛЕНИЯ  
НА УПРУГИЕ СВОЙСТВА КРИСТАЛЛОВ  $\{N(CH_3)_4\}_2FeCl_4$   
В ОБЛАСТИ ФАЗОВЫХ ПЕРЕХОДОВ**

О. Г. Влох, А. В. Китык, В. П. Сопрунчик

Изучено влияние гидростатического давления на аномалии температурных зависимостей скоростей и затухания поперечных ультразвуковых волн в области фазовых переходов кристалла  $\{N(CH_3)_4\}_2FeCl_4$ , включая переходы в несоразмерную фазу. Полученные результаты обсуждаются в рамках феноменологической теории на основе учета особенностей взаимодействия ультразвуковых волн с неголдстоуновским фазоном и верхней модой.

Кристаллы ферумхлората тетраметиламмония  $\{N(CH_3)_4\}_2FeCl_4$  (сокращенно ТМАТХ—Fe) при атмосферном давлении обладают рядом структурных фазовых переходов (ФП), включая переходы в несоразмерную фазу (НФ) [1]. Исходная парафаза (ПФ) этих кристаллов характеризуется структурой типа  $\beta\text{-K}_2SO_4$  с пространственной группой симметрии  $D_{2h}^{16}$  и четырьмя формульными единицами в элементарной ячейке. Согласно результатам рентгеновских исследований [1], ФП из ПФ в НФ ( $T_c=282$  К) связан с конденсацией мягкой моды в точке зоны Бриллюэна  $k_0=\xi a^*$ , где волновой параметр  $\xi \approx 0.445$  при  $T=T_c$  и параметр обратной решетки  $a^*=2\pi/a$ . С понижением температуры параметр  $\xi$  в НФ уменьшается и при  $T_c=270.5$  К его величина скачком обращается в  $3/7$ , что отвечает переходу в соразмерно-модулированную фазу (СФ) с волновым вектором  $k_{c_1}=(3/7)a^*$  и пространственной группой симметрии  $D_2^4$ . Дальнейшее понижение температуры сопровождается переходами в несобственную сегнетоэластическую фазу (СЭФ-1, пр. группа  $C_{2h}^5$ ,  $k_{c_2}=a^*/3$ ) при  $T_1=266.5$  К и собственную сегнетоэластическую фазу (СЭФ-2, пр. группа  $C_{2h}^5$ ,  $k_{c_3}=0$ ) при  $T_2=240$  К.

Фазовая диаграмма гидростатическое давление—температура ( $P$ ,  $T$ -диаграмма) кристаллов ТМАТХ—Fe изучалась ранее в работе [2] методом дифференциального термического анализа. В частности, было установлено наличие тройных точек на  $P$ ,  $T$ -диаграмме с координатами ( $P_{k_1}=100$  МПа,  $T_{k_1}=281$  К) и ( $P_{k_1}=150$  МПа,  $T_{k_1}=295$  К), в которых с увеличением давления исчезают СЭФ-1 и НФ соответственно. Несмотря на имеющиеся отличия последовательности ФП в ТМАТХ—Fe и остальных кристаллах группы ТМАТХ—X (X = Zn, Co, Mn), их фазовые  $P$ ,  $T$ -диаграммы, как показано в [3], отвечают некоторой единой приведенной фазовой  $P$ ,  $T$ -диаграмме. При этом последовательность ФП и значение волнового вектора несоразмерной модуляции  $k_0$  в кристаллах ТМАТХ—Fe при атмосферном давлении такие же, как и в ТМАТХ—Mn при высоких давлениях, либо в ТМАТХ—Zn или ТМАТХ—Co в области «отрицательных» давлений. В этом смысле кристаллы ТМАТХ—Fe занимают промежуточное место между последними, следовательно, исследование их упругих свойств в области ФП представляется вполне актуальным главным образом с точки зрения более полного изучения природы ФП в группе кристал-

лов ТМАТХ—X (X=Zn, Fe, Co, Mn). Настоящая работа, в частности, посвящена изучению влияния гидростатического давления на температурные зависимости скоростей и затухания поперечных ультразвуковых волн (УЗВ) кристаллов ТМАТХ—Fe в области ФП. Аналогичные исследования для кристаллов ТМАТХ—X (X=Zn, Co, Mn) проводились ранее в [4–7].

Кристаллы ТМАТХ—Fe выращивались из водного раствора соединений  $N(CH_3)_4Cl$  и  $FeCl_2$ , взятых в стехиометрическом соотношении методом медленного испарения при температуре 300 К. Полученные кристаллы имели хорошее оптическое качество, которое контролировалось с помощью поляризационного микроскопа. Установка образцов в кристаллографической системе коор-

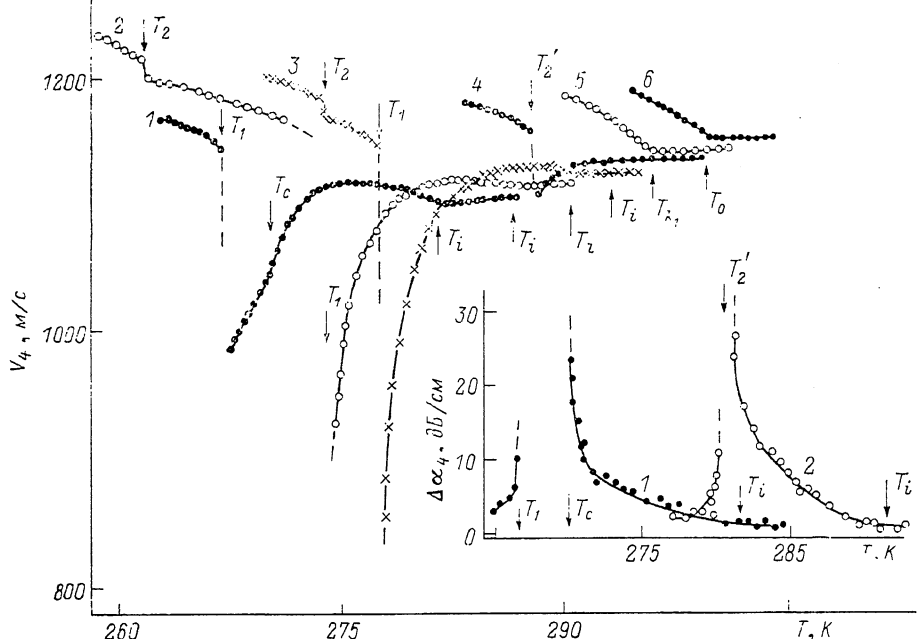


Рис. 1. Температурные зависимости скорости поперечной УЗВ  $V_4$ .

$P$ , МПа: 1 — 0.1, 2 — 50, 3 — 80, 4 — 120, 5 — 150, 6 — 168. На вставке — температурные зависимости изменения ее затухания  $\Delta\alpha_4$ .  $P$ , МПа: 1 — 0.1, 2 — 100.

динат проводилась рентгеновским методом. При этом оси выбирались так, что  $b=Y > a=X > c=Z$  ( $b \approx \sqrt{3}c$ ,  $a$  — псевдодекагональная ось). Для исследований в условиях высоких гидростатических давлений использовалась камера, которая позволяла проводить акустические измерения при давлениях 0.1–350 МПа в температурном интервале 200–450 К. Скорость УЗВ определялась эхо-импульсным методом на частоте 10 МГц согласно методики [8]. Относительная погрешность измерений при этом составляла  $10^{-4}$ . Затухание УЗВ определялось методом сравнения экспоненциально убывающих амплитуд эхо-импульсов с абсолютной точностью измерений 10–15 %. Акустические исследования проводились при постоянном давлении и медленном охлаждении образцов со скоростью 0.1 К/мин.

Результаты исследований влияния гидростатического давления на температурные зависимости скоростей и затухания поперечных УЗВ  $V_4(q \parallel c, S \parallel b)$ ,  $V_5(q \parallel a, S \parallel c)$  и  $V_6(q \parallel a, S \parallel b)$  ( $q$  — волновой вектор УЗВ,  $S$  — ее поляризация) кристалла ТМАТХ—Fe приведены на рис. 1–3. Обозначения температур ФП, фигурирующих на указанных рисунках и в тексте последующего изложения, становятся понятными из фазовой  $P$ ,  $T$ -диаграммы (рис. 4).

Изобарические температурные зависимости скорости поперечной УЗВ  $V_4$  и изменений ее затухания  $\Delta\alpha_4(T)$  показаны на рис. 1. В условиях атмосферного давления зависимость  $V_4(T)$  характеризуется изломом в окрестности ФП ПФ—НФ. При этом скорость УЗВ в НФ вначале незначительно возрастает, а затем существенно уменьшается. В области ФП из НФ в СФ ( $T = T_c$ ) наблюдается излом зависимости  $V_4(T)$ , а при переходе СФ  $\rightarrow$  СЭФ-1 — скачок ве-

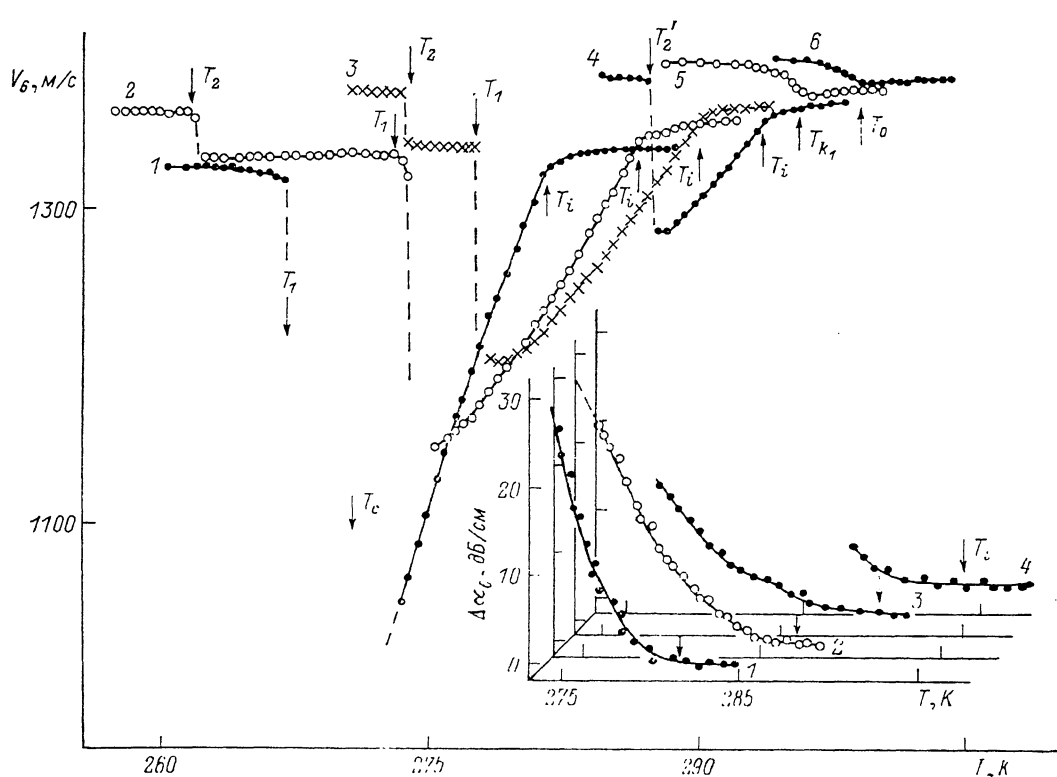


Рис. 2. Температурные зависимости скорости поперечной УЗВ  $V_6$ .

$P$ , МПа: 1 — 0.1, 2 — 50, 3 — 80, 4 — 120, 5 — 150, 6 — 168. На вставке — температурные зависимости изменения ее затухания  $\Delta\alpha_6$  в НФ.  $P$ , МПа: 1 — 0.1, 2 — 50, 3 — 80, 4 — 120.

личины  $V_4$ . Уменьшение скорости УЗВ  $V_4$  в НФ сопровождается также возрастанием ее затухания (рис. 1, вставка), причем в СФ его корректное определение затрудняется вследствие фактического исчезновения на экране осциллографа всех отраженных эхо-импульсов, за исключением первого. С повышением давления происходит смещение температур ФП в высокотемпературную область. При этом изменения скорости этой УЗВ и ее затухания в НФ становятся более резкими. Наблюдаемые при высоких давлениях ФП из СЭФ-1 в СЭФ-2 при  $T = T_2$  (кривые 2, 3), а также из НФ в СЭФ-2 при  $T = T'_2$  (кривая 4) сопровождаются скачками величины скорости  $V_4$ . При  $P > 150$  МПа в зависимости  $V_4(T)$  виден лишь излом (кривые 5, 6), отвечающий непосредственному ФП из ПФ в СЭФ-2. В результате проведенного изучения влияния гидростатического давления на температурные зависимости скорости УЗВ  $V_4$  в настоящей работе удалось впервые установить на фазовой  $P$ ,  $T$ -диаграмме кристаллов ТМАТХ—Fe область существования СФ. Последняя с повышением давления сужается и исчезает в критической точке с координатами  $P_{k_2} \approx 10$  МПа,  $T_{k_2} \approx 273.5$  К (рис. 4, вставка).

Скорость поперечной УЗВ  $V_6$  и ее затухание  $\Delta\alpha_6$  приведены на рис. 2. Из этого рисунка видно, что скорость  $V_6$  в НФ с понижением температуры претерпевает резкое уменьшение, тогда как величина затухания  $\Delta\alpha_6$  заметно возрастает (рис. 2, вставка). В СФ акустические исследования скорости этой УЗВ затруднены сильным ее затуханием. Переход в СЭФ-1 сопровождается скачкообразным возрастанием величины  $V_6$  при  $T=T_1$ . Более слабые скачки скорости  $V_6$  также имеют место в окрестности ФП СЭФ-1  $\rightarrow$  СЭФ-2 при  $T=T_2$ .

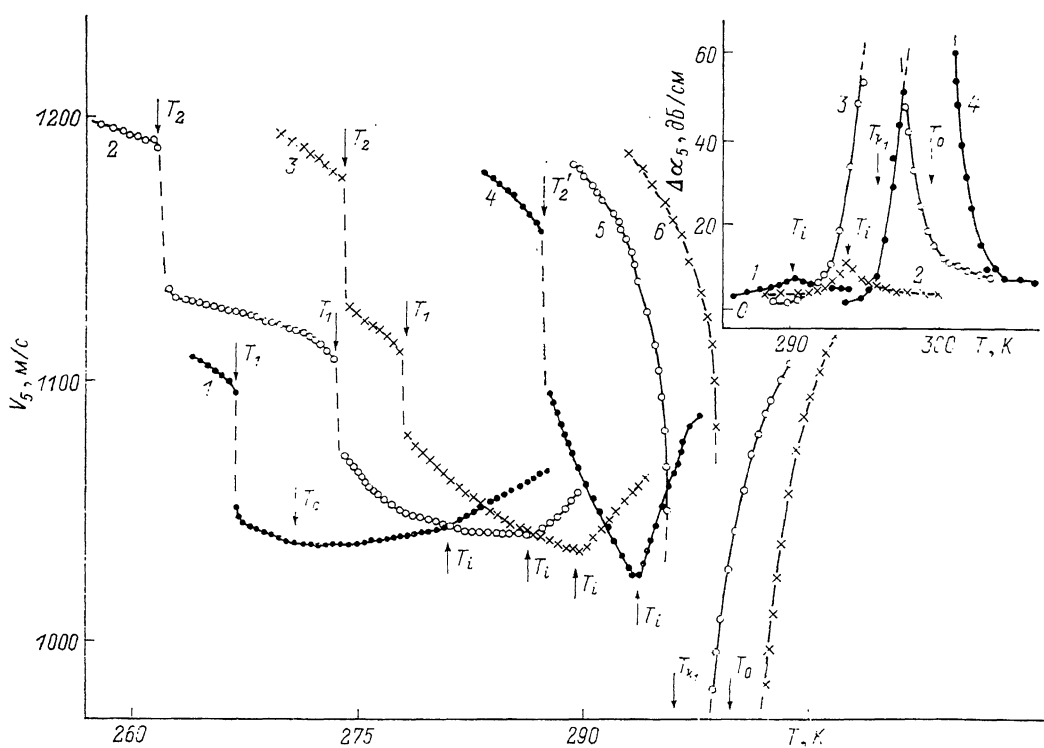


Рис. 3. Температурные зависимости скорости поперечной УЗВ  $V_5$ .

$P$ , МПа: 1 — 0,1, 2 — 50, 3 — 80, 4 — 120, 5 — 150, 6 — 168. На вставке — температурные зависимости изменения ее затухания  $\Delta\alpha_5$ .  $P$ , МПа: 1 — 80, 2 — 120, 3 — 150, 4 — 168.

(кривые 2, 3) и НФ  $\rightarrow$  СЭФ-2 при  $T=T'_2$  (кривая 4). При  $P > 150$  МПа в зависимостях  $V_6(T)$  наблюдается лишь излом в области  $T_0$  (кривые 5, 6), соответствующий ФП второго рода из ПФ в СЭФ-2. Важно отметить, что изменения  $V_6(T)$  и  $\Delta\alpha_6(T)$  в НФ с повышением давления становятся менее резкими, причем если при низких давлениях аномальное затухание  $\Delta\alpha_6$  проявляется практически во всей области НФ, то при высоких давлениях оно лишь незначительно возрастает вблизи перехода в СЭФ-2.

Изобарические температурные зависимости скорости поперечной УЗВ  $V_5$  кристаллов ТМАТХ—Fe также характеризуются аномальным поведением в окрестности всех вышеуказанных переходов (рис. 3). При этом изменения  $V_5$  в области ФП ПФ—НФ с возрастанием давления становятся более резкими. Особенно четко это проявляется при  $P > 150$  МПа вблизи перехода ПФ  $\rightarrow$  СЭФ-2 ( $T=T_0$ ), где величина указанной скорости существенно уменьшается (кривые 5, 6), тогда как затухание  $\Delta\alpha_5$  резко возрастает (рис. 3, вставка).

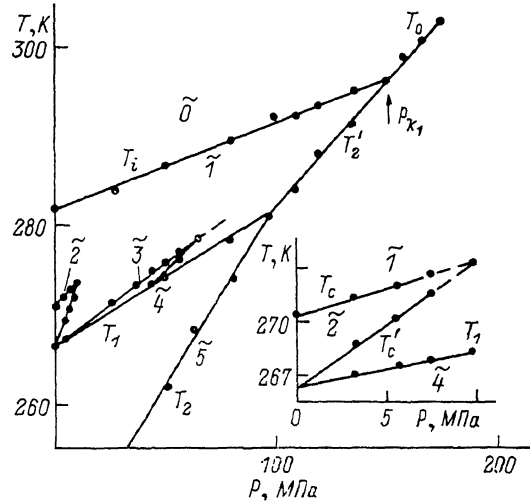
Полученная из акустических исследований фазовая  $P$ ,  $T$ -диаграмма кристаллов ТМАТХ—Fe (рис. 4) хорошо согласуется с результатами работы [2]. Из

рис. 4 видно, что на фазовой  $P$ ,  $T$ -диаграмме также приведена область существования несобственной сегнетоэлектрической фазы  $\tilde{3}$  (пр. группа симметрии  $C_{2v}^0$ ,  $k_{c_3} = (2/5) a^*$ ), которая практически не проявляется в температурных зависимостях скоростей УЗВ, однако хорошо идентифицируется исходя из исследований линейного электроакустического эффекта, наблюдаемого главным образом лишь в области полярной фазы. Подробное изложение результатов этих исследований будет опубликовано вскоре.

Аномальное поведение скоростей и затухания УЗВ в области ФП кристаллов ТМАТХ—Fe в рамках феноменологической теории объясняется на основе учета в выражении свободной энергии членов, описывающих взаимодействие соответствующих компонент деформаций с параметром порядка. В качестве последнего удобно выбрать некоторую фононную координату  $Q_k$ , преобразующуюся по двумерному не-приводимому представлению  $\Sigma_4$  группы симметрии исходной парафазы. Свободную энергию, включающую в себя такие взаимодействия, на основании [9] с учетом дополнительных членов можно записать в виде

Рис. 4. Фазовая  $P$ ,  $T$ -диаграмма кристаллов ТМАТХ—Fe.

$\tilde{0}$  — ПФ,  $\tilde{1}$  — НФ,  $\tilde{2}$  — СФ,  $\tilde{3}$  — сегнетоэлектрическая фаза,  $\tilde{4}$  — СЭФ-1,  $\tilde{5}$  — СЭФ-2. На вставке детально показана область существования СФ на фазовой  $P$ ,  $T$ -диаграмме.



$$F = F_0 + F_{q,v},$$

$$F_q = \omega_k^2 Q_k Q_k^* + \frac{1}{2} B (Q_k Q_k^*)^2 + \frac{1}{3} C (Q_k Q_k^*) + \dots,$$

$$F_{q,v} = \sum_{i=1}^3 a_i Q_k Q_k^* U_i + \frac{1}{2} \sum_{i=1}^6 b_i Q_k Q_k^* U_i^2 + \beta_0 Q_0 U_5 + \beta_3 (Q_{i_3}^3 + Q_{i_5}^{*3}) U_4 + \beta_5 (Q_{i_3}^5 + Q_{i_5}^{*5}) U_5 + \beta_7 (Q_{i_7}^{*7} + Q_{i_7}^{*7}) U_4 + \beta_2 Q_{k_0}^2 U_6 (K') + \beta_3 Q_{k_0}^3 U_4 (K''), \quad (1)$$

где  $\omega_k^2 = A_0 (T - T_0) + h (k_0 - |k|)^2$  — частота мягкой моды;  $K' = a^* - 2k_0$ ;  $K'' = a^* - 3k_0$ ;  $U_1 - U_6$  — компоненты деформаций;  $Q_{k_0}$ ,  $Q_{i_7}$ ,  $Q_{i_5}$ ,  $Q_{i_3}$ ,  $Q_0$  — нормальные координаты фононов в НФ, СФ, сегнетоэлектрической фазе, СЭФ-1 и СЭФ-2 соответственно. Дальнейший анализ поведения упругих свойств в настоящей работе будет касаться главным образом области НФ. Особая роль здесь принадлежит двум последним членам разложения (1), которые для ультразвуковых частот, когда волновой вектор УЗВ  $q \ll K'$  ( $K''$ ), согласно [10, 11], принимают вид

$$\beta_2 Q_{k_0}^* R_{k_0+q} U_6 (q), \\ \beta_3 Q_{k_0}^2 Q_{q*-2k_0+q} U_4 (q), \quad (2)$$

где  $R_{k_0+q}$  и  $Q_{q*-2k_0+q}$  — изменения нормальных координат верхней моды и второй гармоники модуляции структуры под влиянием деформаций  $U_6$  и  $U_4$  соответственно. Проводя над выражением (1) обычные преобразования (см., например, [12]), получаем следующие выражения для изменений скоростей и затухания поперечных УЗВ в НФ:

$$\Delta V_4 = \frac{1}{2\rho V_4} \left[ b_4 Q_*^2 - \frac{\beta_3^{*2} Q_*^4}{2\omega_\phi^2 (1 + \Omega^2 \tau_\phi^2)} \right], \quad (3a)$$

$$\Delta \alpha_4 = \frac{1}{\rho V_4^2} \frac{\beta_3^{*2} Q_*^4 \Omega^2 \tau_\phi}{4\omega_\phi^2 (1 + \Omega^2 \tau_\phi^2)}, \quad (3b)$$

$$\Delta V_5 = \frac{1}{2\rho V_5} b_5 Q_*^2, \quad (4a)$$

$$\Delta \alpha_5 = 0, \quad (4b)$$

$$\Delta V_6 = \frac{1}{2\rho V_6} \left[ b_6 Q_*^2 - \frac{2\beta_2^{*2} Q_*^2}{\omega_R^2 (1 + \Omega^2 \tau_R^2)} \right], \quad (5a)$$

$$\Delta \alpha_6 = \frac{1}{\rho V_6^2} \frac{\beta_2^{*2} Q_*^2 \Omega^2 \tau_R}{\omega_R^2 (1 + \Omega^2 \tau_R^2)}, \quad (5b)$$

где  $Q_*^2 = A_0 (T_c - T)/B$  — равновесное значение амплитуды параметра порядка;  $\Omega = qV$  — частота УЗВ;  $\omega_\phi^2 = hK''^2 = h [(3\xi - 1) a^*]^2$  и  $\tau_\phi$  — частота и время релаксации неголдстоуновского фазона;  $\omega_R$  и  $\tau_R$  — частота и время релаксации верхней моды;  $\rho$  — плотность кристалла. Из приведенных уравнений следует, что температурные зависимости скоростей поперечных УЗВ в области ФП из ПФ в НФ должны испытывать изломы, причем в соответствии с экспериментом  $b_4 > 0$ ,  $b_5 > 0$  и  $b_6 < 0$ . Резкое уменьшение скорости УЗВ  $V_4$  и возрастание затухания  $\Delta \alpha_4$  при приближении к  $T_c$  обусловлены вкладом неголдстоуновского фазона. В отличие от ТМАТХ—Mn [5] его влияние на упругие свойства кристаллов ТМАТХ—Fe, подобно как и в случае ТМАТХ—Zn [4] и ТМАТХ—Co [6], проявляется уже при атмосферном давлении. Это объясняется существенно меньшим значением частоты  $\omega_\phi$ , поскольку точка конденсации мягкой моды в этих кристаллах при  $P=0.1$  МПа по сравнению с ТМАТХ—Mn является смещенной к точке  $a^*/3$  зоны Бриллюэна, а  $\omega_\phi \rightarrow 0$  при  $\xi \rightarrow 1/3$ . При этом, как следует из рис. 1, с увеличением давления отрицательный вклад в изменение скорости  $\Delta V_4$  и величина аномального затухания  $\Delta \alpha_4$  в НФ возрастают. Последнее свидетельствует об усилении влияния неголдстоуновского фазона на упругие свойства, что вызвано перемещением под влиянием давления минимума мягкой моды в зоне Бриллюэна от  $a^*/2$  к  $a^*/3$  и является типичным для всех кристаллов группы ТМАТХ—X [4–7]. На основании второго члена в выражении (3a) также можно легко объяснить наличие при низких давлениях в зависимостях  $V_4(T)$  наклонной «полки» в области СФ (рис. 1). Подобно кристаллам ТМАТХ—Co [6] ее существование обусловлено постоянством волнового параметра  $\xi$  в СФ ( $\xi=3/7$ ), вследствие чего частота  $\omega_\phi$  в интервале температур  $T'_c - T_c$  не изменяется. В случае же НФ на зависимость  $V_4(T)$ , кроме изменяющейся с температурой амплитуды параметра порядка, влияет также температурная зависимость частоты фазона. Важно при этом отметить, что для корректного объяснения зависимостей  $V_4(T)$  и  $\Delta \alpha_4(T)$  в области СФ необходимо учитывать вклады, следующие из других смешанных инвариантов разложения (1), например, за счет инварианта  $\beta_7 (Q_{3/7}^2 + Q_{3/7}^{*2}) U_4(0)$ . Однако учет последнего является чисто формальным, поскольку величина его вклада в упругие свойства пропорциональна  $|Q_{3/7}|^{12}$ , что на несколько порядков малости выше, чем в рассмотренном нами случае.

Температурное поведение скорости УЗВ  $V_6$  (рис. 2) в НФ при низких давлениях также нельзя полностью объяснить лишь при учете первого члена в выражении (5a). В частности, зависимость  $V_6 \sim (T_c - T)^{\beta}$ , где критический индекс  $\beta \approx 0.58$  резко отличается от его значения, определенного из структурных исследований ( $\beta \approx 0.36$ ) [1]. Кроме того, сильное уменьшение  $V_6$  в НФ сопровождается затуханием, тогда как смешанный инвариант  $b_6 Q_k Q_k^* U_6^2$  ни-

когда не приводит к аномалиям затухания, если не учитывать флуктуаций параметра порядка. Наблюдаемое необычное температурное поведение скорости и затухания этой УЗВ в области низких давлений является прямым следствием существенного влияния на упругие свойства верхней моды. При этом ее вклад в  $V_6(T)$  и  $\Delta\alpha_6(T)$  с повышением давления подавляется, что вызвано повышением частоты  $\omega_R$  вследствие смещения минимума мягкой моды от края зоны Бриллюэна и хорошо согласуется с результатами исследований остальных кристаллов группы ТМАТХ-X [4-7].

В заключение обсудим температурные зависимости скорости и затухания УЗВ  $V_5$ . В разложении свободной энергии (4) фигурируют два члена, с помощью которых можно объяснить ее аномальное поведение. При низких давлениях, когда температура ФП в СЭФ-2 находится вдали от НФ, зависимости  $V_5(T)$  и  $\Delta\alpha_5(T)$  определяются соотношениями (4а) и (4б), которые следуют из учета члена  $b_5 Q_{k_0} Q_{k_0}^* U_5^2$ . Экспериментальные данные согласуются с указанными соотношениями. В частности, зависимости  $V_5(T)$  при  $T=T_0$  характеризуются изломом, а затухание в области этого ФП отсутствует. Изменение же характера температурных зависимостей  $V_5$  и  $\Delta\alpha_5$  при высоких давлениях объясняется возрастающей ролью члена  $\beta_0 Q_0 U_5$ , который обусловливает смягчение упругого модуля  $C_{55}$  в связи с «приближением» ФП в СЭФ-2 со спонтанной деформацией  $U_5^2$ . Особенно четко такое смягчение проявляется в области прямого ФП из ПФ в СЭФ-2, где изменение скорости  $V_5$  подчиняется закону Юри-Вейса

$$\Delta V_5 = \begin{cases} \frac{1}{2\rho V_5} \frac{\beta_0^2}{A_0(T-T_0)}, & T > T_0, \\ \frac{1}{2\rho V_5} \frac{\beta_0^2}{2A_0(T_0-T)}, & T < T_0, \end{cases} \quad (6a)$$

а затухание

$$\Delta\alpha_5 = \begin{cases} \frac{1}{2\rho V_5^2} \frac{1}{A_0(T-T_0)} \frac{\beta_0^2 \Omega^2 \tau_0}{(1+\Omega^2 \tau_0^2)}, & T > T_0, \\ \frac{1}{2\rho V_5^2} \frac{1}{2A_0(T_0-T)} \frac{\beta_0^2 \Omega^2 \tau_0}{(1+\Omega^2 \tau_0^2)}, & T < T_0, \end{cases} \quad (6b)$$

где  $\tau_0$  — время релаксации мягкой моды для СЭФ-2. Хорошее согласие экспериментально полученных результатов с зависимостями (6а) и (6б) для УЗВ  $V_5$  фактически подтверждает наличие собственного сегнетоэластического ФП.

#### Список литературы

- [1] Mashiyama H., Tanisaki S. // J. Phys. C: Solid State Phys. 1982. V. 15. N 2. P. L455—L459.
- [2] Shimizu H., Abe N., Kokubo N., Yasuda N., Fujimoto S., Yamaguchi T., Sawada S. // Solid State Commun. 1980. V. 34. N 2. P. 363—368.
- [3] Gesi K. // Ferroelectrics. 1986. V. 66. N 1/4. P. 269—286.
- [4] Влох О. Г., Есаян С. Х., Китык А. В., Мокрый О. М. // Изв. АН СССР, сер. физ. 1989. Т. 53. № 7. С. 1364—1368.
- [5] Влох О. Г., Китык А. В., Мокрый О. М. // ФТТ. 1990. Т. 32. № 4. С. 1044—1051.
- [6] Влох О. Г., Китык А. В., Мокрый О. М. // Кристаллография. 1990. Т. 35. № 4. С. 894—899.
- [7] Влох О. Г., Китык А. В., Мокрый О. М. // ФТТ. 1990. Т. 32. № 9. С. 2558—2562.
- [8] Papadakis E. P. // J. Acoustic Soc. Amer. 1967. V. 42. N 5. P. 1045—1051.
- [9] Mashiyama H. // J. Phys. Soc. Jap. 1980. V. 49. N 6. P. 2270—2277.
- [10] Lemanov V. V., Esayan S. Kh. // Ferroelectrics. 1987. V. 73. N 1/2. P. 125—144.
- [11] Dvorak V., Esayan S. Kh. // Solid State Commun. 1982. V. 44. N 5. P. 901—903.
- [12] Есаян С. Х. // Препринт ФТИ АН СССР № 963, 964. Л., 1985.